

CONDUCIBILITÀ TERMICA

Gabriele Di Ubaldo,
Andrea Torosantucci

12 Maggio 2016

*Univesrità di Pisa, Dipartimento di Fisica,
Laboratorio didattico del primo anno.*



Indice

| | | |
|----------|---|----------|
| 1 | Obiettivo esperimento | 1 |
| 1.1 | Teoria e leggi | 2 |
| 1.1.1 | Descrizione fenomeno | 2 |
| 1.1.2 | Apparato sperimentale | 2 |
| 2 | Misure ed acquisizione dati | 2 |
| 2.1 | Misure | 3 |
| 3 | Analisi dati | 4 |
| 3.1 | Propagazione degli errori | 4 |
| 4 | Fit grafico ed elaborazione dati | 4 |
| 4.1 | Fit grafico | 5 |
| 4.2 | Elaborazione dati | 6 |
| 5 | Conclusioni | 8 |

1 Obiettivo esperimento

Avendo a disposizione due sbarre di diverso materiale riscaldate e raffreddate alle estremità contemporaneamente e potendo misurare tramite dei fori che variano in funzione della distanza, lo scopo dell'esperienza è quello di misurare la conducibilità termica dei due materiali.

1.1 Teoria e leggi

La quantità di calore trasmessa per unità di tempo:

$$W = \frac{dQ}{dt} \quad (1)$$

Chiamato anche flusso di calore, questo all'equilibrio termico è costante. Chiamando S la sezione della sbarra, T la temperatura nei vari punti e d la distanza, la formula specifica diviene:

$$W = -\lambda S \frac{\Delta T}{\Delta d} \quad (2)$$

Nella quale λ è chiamata conducibilità termica del materiale. Ovviamente dato che il calore fluisce spontaneamente dalla zona più calda alla zona più fredda, il segno è negativo.

1.1.1 Descrizione fenomeno

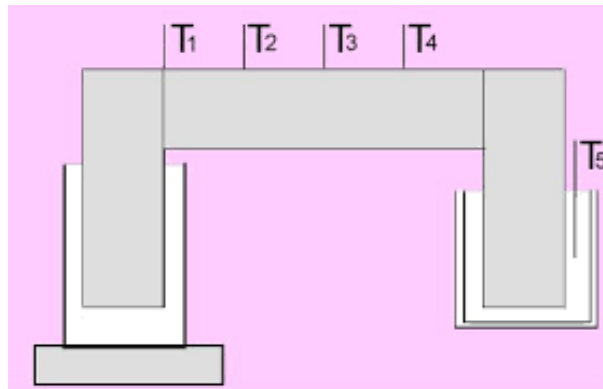


Figura 1: *Immagine a scopo illustrativo*

1.1.2 Apparato sperimentale

- Due barre cilindriche, di cui una rivestita di materiale isolante.
- Due termistori per la misura delle temperature.
- Calcolatore con programma di acquisizione (*Plasduino*).
- Un alimentatore chiuso su due resistenze in parallelo.
- Un circuito ad acqua corrente.
- Calibro ventesimale (0.05mm)

2 Misure ed acquisizione dati

Sistemato il voltaggio e l'ampereaggio della corrente e azionato il flusso d'acqua, abbiamo incominciato ad eseguire delle misure tramite i termistori. Le misure che abbiamo preso con i termistori sono state prese ponendo uno dei termistori all'estremità più calda e l'altro è stato inserito nei

fori, cambiando posizione di volta in volta sino ad arrivare all'estremità raffreddata dall'acqua corrente.

Il diametro interno ed esterno sono: $D_{esterno} = (2.51 \pm 0.05)cm$ e $D_{interno} = (0.7 \pm 0.1)cm$.

Il voltaggio é: $V = (10.1 \pm 0.1)V$ e l'amperaggio è: $I = (1.61 \pm 0.01)A$.

Inoltre i fori sono equispaziati di un $x_i = 2.1 \pm 0.1cm$. Per la valutazione di λ , abbiamo i valori tabulati per tre differenti materiali.

Tabella 1: Valori tabulati

| Materiale | λ [W/(m °C)] |
|-----------|----------------------|
| Alluminio | ~ 200 |
| Rame | ~ 400 |
| Ottone | ~ 110 |

2.1 Misure

Abbiamo preso rispettivamente 20 misure di temperatura, equivalenti ad ogni foro presente sulla sbarra. In seguito durante la presa dati abbiamo lasciato i termistori per un tempo ragionevolmente lungo ($\approx 40secondi$), affinché il sistema andasse all'equilibrio. La prima temperatura è stata presa facendo la media delle misure e la seconda temperatura (quella misurata del secondo termistore che è stato spostato di volta in volta) è stata calcolata affinché essa facendo la media delle misure registrate. Per la sbarra non isolata abbiamo ottenuto:

Tabella 2: **Sbarra non isolata**

| Temperature sbarra non isolate (°C) | |
|-------------------------------------|-------|
| T1 | 37.20 |
| T2 | 36.52 |
| T3 | 35.11 |
| T4 | 34.52 |
| T5 | 33.73 |
| T6 | 32.80 |
| T7 | 31.86 |
| T8 | 30.91 |
| T9 | 30.54 |
| T10 | 29.67 |
| T11 | 28.99 |
| T12 | 28.12 |
| T13 | 27.60 |
| T14 | 26.69 |
| T15 | 26.47 |
| T16 | 25.63 |
| T17 | 24.91 |
| T18 | 23.79 |
| T19 | 23.76 |
| T20 | 22.74 |

Per la sbarra isolata abbiamo ottenuto:

Tabella 3: **Sbarra isolata**

| Temperature sbarra non isolate (°C) | |
|-------------------------------------|-------|
| T1 | 57.35 |
| T2 | 54.72 |
| T3 | 54.33 |
| T4 | 51.74 |
| T5 | 49.49 |
| T6 | 48.23 |
| T7 | 46.03 |
| T8 | 44.76 |
| T9 | 42.38 |
| T10 | 41.01 |
| T11 | 38.48 |
| T12 | 37.19 |
| T13 | 35.30 |
| T14 | 33.79 |
| T15 | 32.13 |
| T16 | 30.42 |
| T17 | 29.11 |
| T18 | 27.21 |
| T19 | 25.33 |
| T20 | 23.43 |

Come incertezze sulle misure di temperatura prendiamo un $\Delta T = 0.35$ °C

3 Analisi dati

Prese le misure, possiamo ricavare la sezione delle sbarre e la potenza dissipata.

$$W = \frac{VI}{2} \quad (3)$$

Questa è valida per resistenze in parallelo. Invece per la sezione possiamo usare:

$$S = \frac{\pi(D_{esterno}^2 - D_{interno}^2)}{4} \quad (4)$$

In questo modo otteniamo: $W = (8.13 \pm 0.13)W$, $S = (4.5 \pm 0.3)cm^2$.

3.1 Propagazione degli errori

L'errore è stato già calcolato precedentemente nella varie formule, dunque nella seguente sezione non abbiamo nulla di rilevante da osservare.

4 Fit grafico ed elaborazione dati

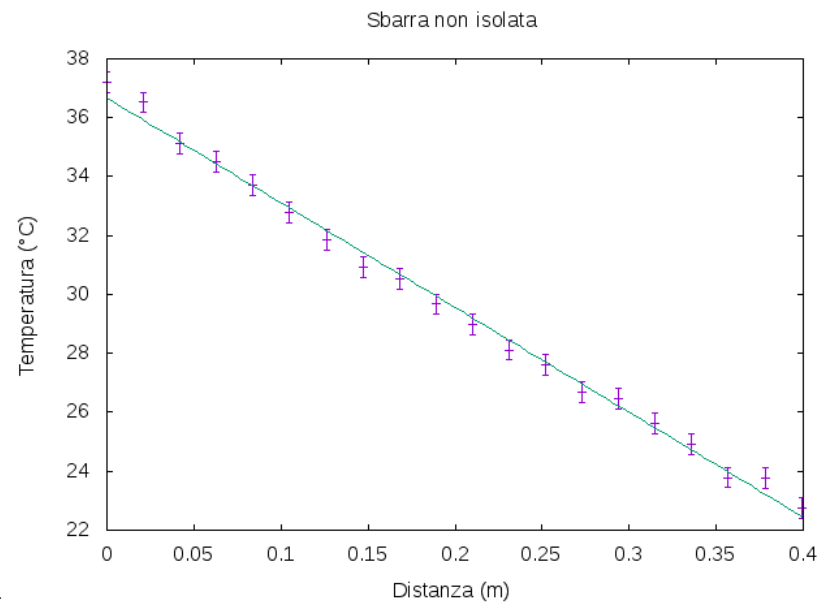
Presi i dati andremo a tracciare tramite GNUplot (*che utilizza l'algoritmo di Marquardt-Levenberg*) a tracciare il grafico della temperatura in funzione della distanza; possiamo prevedere che dato il

flusso spontaneo di calore, la retta avrà coefficiente angolare negativo che sarà la stima di $-\frac{W}{\lambda S}$ dalla quale ricaveremo la conducibilità termica.

4.1 Fit grafico

Qui riportiamo il seguente fit:

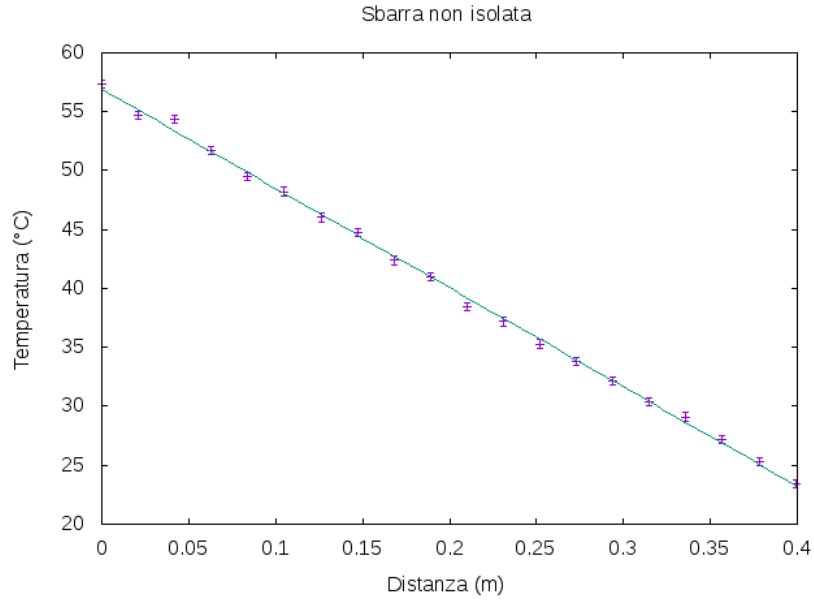
Figura 2: Sbarra non isolata



isolata.png

Sulla sbarra isolata le misure sono più imprecise, tuttavia si riesce in ogni caso a stimare λ . Qui riportiamo l'ulteriore grafico:

Figura 3: Sbarra isolata



Ora tracciato il fit ed avendo stimato tramite esso i valori della retta, possiamo stimare λ .

4.2 Elaborazione dati

La funzione utilizzata per fare il fit è del tipo: $y = Ax + B$. Teoricamente questa è la funzione di fit della funzione ricavata prima dalla formula del flusso di calore, ossia:

$$T_i = T_0 - \frac{W}{\lambda S} x_i \quad (5)$$

Infatti dal fit stimiamo A e B che equivalgono a T_0 e $-\frac{W}{\lambda S}$.

Innanzitutto come possiamo notare nei fit abbiamo B e dunque T_0 ; nel fit della sbarra non isolata otteniamo $T_0 = 36.67 \pm 0.14$ contro il valore misurato $T_0 = 37.20 \pm 0.35$, possiamo calcolare la discrepanza tra queste misure.

Vedendo che questa è minore dell'errore propagato sulla differenza possiamo dire che il modello rispetta i dati sperimentali.

$$Discrepanza = |T_{stimato} - T_{misurato}| \quad (6)$$

$$\Delta Discrepanza = \delta T_{stimato} + \delta T_{misurato} \quad (7)$$

Ora se la $Discrepanza \ll \Delta Discrepanza$ allora il modello è verificato.

Infatti: $\Delta Discrepanza = 0.49$ e $Discrepanza = 0.53$.

Dato che non è molto minore, possiamo affermare che la discrepanza non è significativa.

Lo stesso ragionamento operato sulla sbarra isolata permette di ottenere:

$\Delta Discrepanza = 0.52$ e $Discrepanza = 0.44$.

Anche in questo caso in prima approssimazione, la discrepanza non è significativa. Ora calcoliamo il coefficiente angolare, per il primo grafico abbiamo ottenuto $A = -35.56 \pm 0.60$, sapendo che

$A = -\frac{W}{\lambda S}$ otteniamo che:

$$\lambda = \frac{W}{AS}$$

propagando l'errore,

$$\Delta\lambda = \left| \frac{\partial\lambda}{\partial W} \right| \Delta W + \left| \frac{\partial\lambda}{\partial S} \right| \Delta S + \left| \frac{\partial\lambda}{\partial A} \right| \Delta A$$

In questo modo la conducibilità termica per la sbarra non isolata è: $\lambda = (508 \pm 83)^\circ\text{CC}$, che basandoci sulle conducibilità tabulate, entro la barra d'errore possiamo dire coincide approssimativamente con il rame. Allo stesso modo per la barra isolata otteniamo $A = (-86.17 \pm 0.75)$ dunque otteniamo che: $\lambda = (210 \pm 11)^\circ\text{CC}$, alla stessa maniera, guardando le conducibilità tabulate, possiamo ricondurre la seconda sbarra al materiale alluminio. Infine il Test del χ^2 in entrambi i grafici ha rilevato valori accettabili entro le convenzioni: I gradi di libertà sono 18 e per la sbarra non isolata otteniamo un $\chi^2 = 15.66$, avendo questa probabilità:

$$P(\chi^2 \leq 15.66) \approx 38.4\%$$

Per la seconda sbarra isolata otteniamo un $\chi^2 = 24.26$, avendo questa probabilità:

$$P(\chi^2 \leq 24.26) \approx 85.34\%$$

In ultima analisi possiamo vedere il grafico dei residui per vedere se il modello rispetta la realtà:

Figura 4: Residui sbarra non isolata

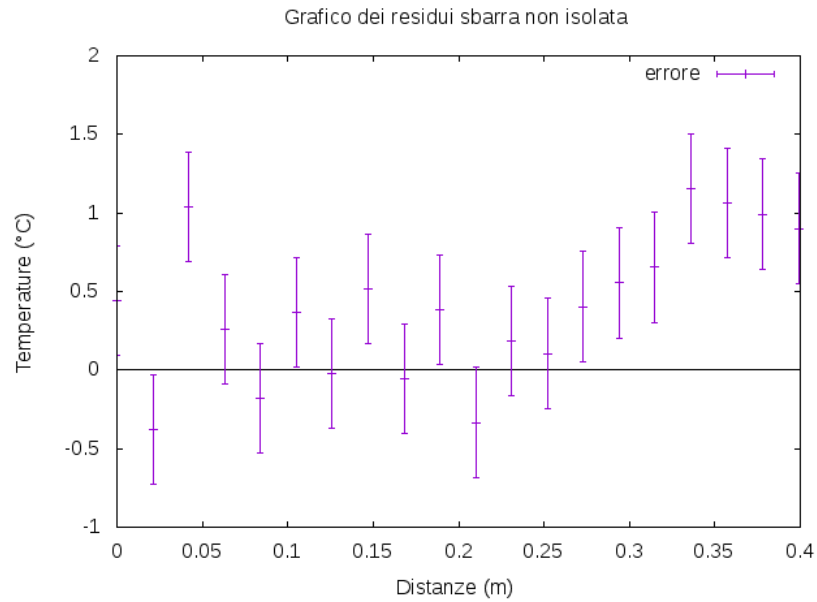
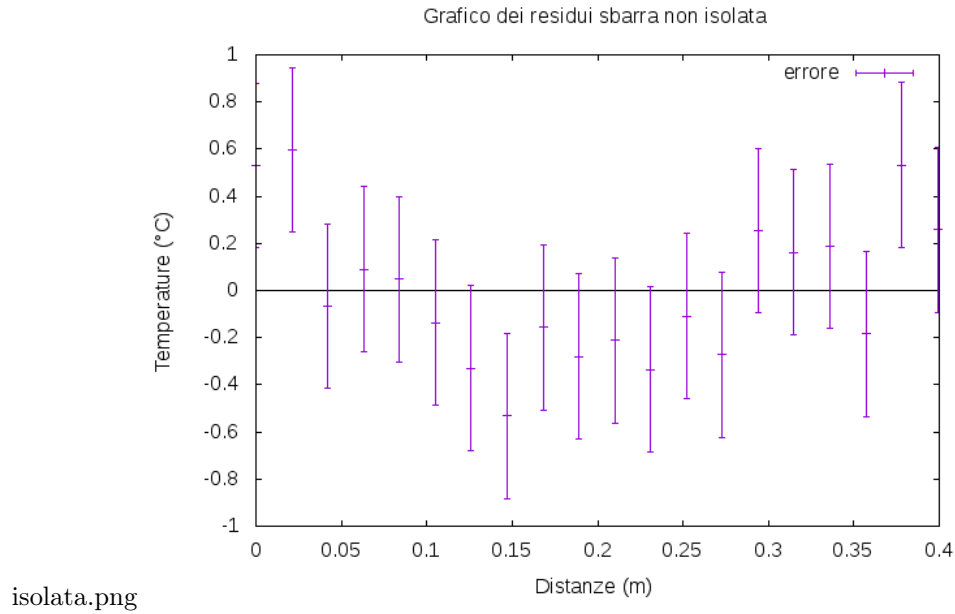


Figura 5: Residui sbarra isolata



Da queste possiamo rilevare una sottostima degli errori per la sbarra non isolata, tuttavia sembrano disporsi in maniera piuttosto casuale e questo vale anche per la seconda sbarra.

5 Conclusioni

Possiamo concludere che alla luce di tutta la presa ed analisi dati, il nostro modello rispecchia i dati misurati entro errori non significativi, grazie alla discrepanza valutata precedentemente e grazie al test del χ^2 che ci ha indicato una buona probabilità di trovare un valore più basso reiterando le misure, questo ci indica una buona concordanza con il modello teorico e i dati sperimentali. L'esperimento può dirsi concluso.